

Survey of Short and Long Cuprophilic d^{10} - d^{10} Contacts for Tetrานuclear Copper Clusters. Understanding of Bonding and Ligand Role from A Planar Superatom Perspective

Francisca Claveria-Cadiz^a, Ramiro Arratia-Pérez^b, Raúl Guajardo-Maturana^{*c,e}, Alvaro Muñoz-Castro^{*d}

^aDepartamento Ingeniería Química, Biotecnología y Materiales, Facultad de Ciencias Físicas y Matemáticas, Universidad de Chile

^bCentro de Nanociencias Aplicadas, Facultad de Ciencias Exactas, Universidad Andrés Bello, Av. República 275, Santiago, Chile

^cDepartamento de Química Inorgánica, Facultad de Química, Pontificia Universidad Católica de Chile, Vicuña Mackenna 4860, Macul, Santiago, Chile

^dLaboratorio de Química Inorgánica y Materiales Moleculares, Facultad de Ingeniería, Universidad Autónoma de Chile, Llano Subercceaux 2801, San Miguel, Santiago, Chile

^eUniversidad Alberto Hurtado, Almirante Barroso 10, Santiago, Santiago, Chile

Supplementary Information

Table S1. The energy of decomposition analysis (EDA kcal.mol⁻¹) for the selected interacting fragments [Au₄]-[L₄].

EDA (kcal/mol) ¹	1b	2b	3b	4b	5b
Frag. [Au ₄] ⁴⁺ [L ₄] ⁴⁻					
ΔE _{Pauli}	1121.63	1159.25	1026.20	1001.32	1102.82
ΔE _{elstat}	-1958.87	-1898.93	-1930.58	-1806.84	-964.98
ΔE _{orb}	-1145.78	-1241.13	-1061.25	-1021.19	-885.69
ΔE _{Disp}	-22.70	-23.05	-31.50	-15.00	-20.91
ΔE _{Def}	24.48	8.24	8.12	19.28	7.40
ΔE _{int}	-2005.69	-2003.85	-1997.14	-1841.07	-1850.68
<i>Superatomic Levels</i>					
1S	1.22	1.90	0.87	1.81	0.64
1P _x	0.55	0.64	0.47	0.57	0.63
1P _y	0.54	0.65	0.50	0.59	0.59
1D _{xy}	0.35	0.38	0.31	0.27	0.46

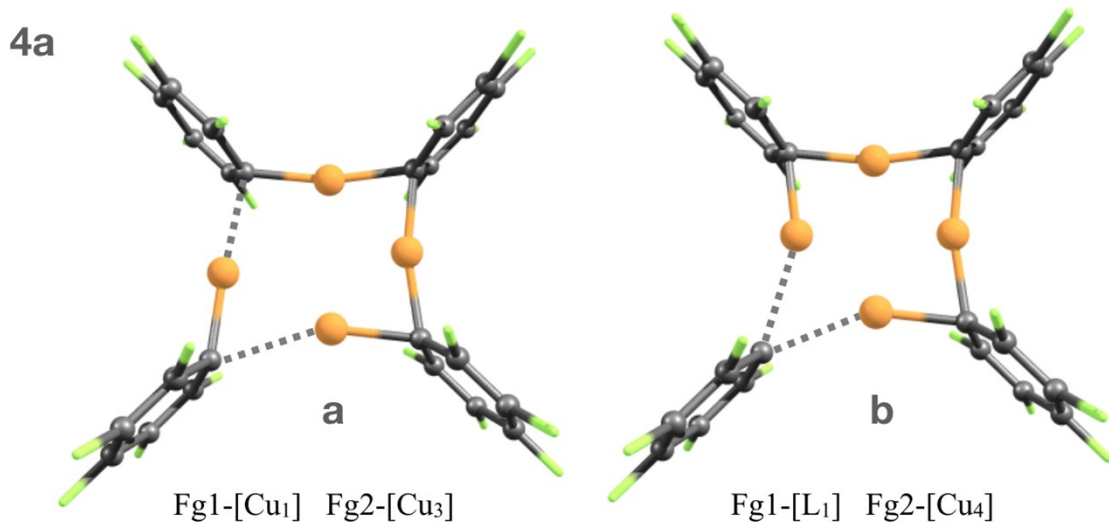


Figure S1. The corresponding fragmentation that involve the obtaining of a clean dispersion energy.